

05.2;05.4

**К ТЕОРИИ КОНВОЛЬВЕРА  
НА МАГНИТОСТАТИЧЕСКИХ ВОЛНАХ  
В СТРУКТУРЕ ФЕРРИТ-СВЕРХПРОВОДНИК  
II РОДА**

© Н.И.Ползикова, А.О.Раевский

В настоящей работе рассматривается возможность реализации операции свертки двух сигналов за счет нелинейного взаимодействия магнитостатических спиновых волн (МСВ) в структуре феррит-сверхпроводник (СП). Нелинейное взаимодействие электромагнитных полей МСВ с СП происходит в результате движения вихрей магнитного потока в СП. Этот механизм является наиболее существенным для однородных пленок СП и в частотном диапазоне МСВ (1–30) ГГц.

Рассмотрим магнитный диэлектрик толщиной  $d$  и слой СП II рода толщиной  $b$ , прилегающие друг к другу (рис. 1). Это могут быть, например, эпитаксиальная ферритовая пленка и пленка высокотемпературного СП на соответствующих подложках. Внешнее магнитное поле  $B_0 = (0, B_0, 0)$  приложено перпендикулярно к поверхности раздела и удовлетворяет неравенству  $H_{C1} \ll B_0 \ll H_{C2}$ , где  $H_{C1}$  и  $H_{C2}$  — соответственно верхнее и нижнее критические поля СП II рода. Пусть МСВ распространяются в направлении  $Ox$  и имеют длины волн  $\lambda \gg l$ , где  $l$  — период решетки вихрей Абрикосова. Переменные электромагнитные поля  $\delta B = (\delta B_x, \delta B_y, 0)$  и  $\delta E = (0, 0, \delta E_z)$ , сопровождающие МСВ, проникают в СП и индуцируют в нем переменный ток  $\delta j = (0, 0, \delta j_z)$ . Если частота МСВ  $\omega$  значительно превышает дипиннинговую частоту, то в СП возникает колебательное движение вихрей со скоростью  $\delta v = (\Phi_0 \delta j_z / c\eta, 0, 0)$ , где  $\Phi_0$  — квант магнитного потока,  $\eta$  — коэффициент вязкого трения вихрей,  $c$  — скорость света. Это движение приводит к возникновению в СП нелинейного электрического поля

$$\mathbf{E}_{nt} = -[\delta \mathbf{v}, \delta \mathbf{B}] / c. \quad (1)$$

Рассмотрим далее две распространяющиеся навстречу амплитудно-модулированные волны  $S_{1,2} = \sqrt{W_{1,2}(t)} \times \exp[i(\omega_{1,2}t - q_{1,2}x)]$  с частотами  $\omega_1 = \omega_2 = \omega$ , волновыми векторами  $q_1 = -q_2 = q$  и мощностями  $W_{1,2}(t)$ . Согласно (1), электромагнитные поля одной волны могут взаимодействовать с колебаниями вихрей, созданными другой вол-

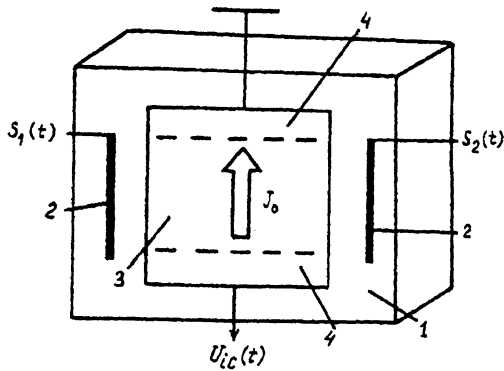


Рис. 1. Схема конвольвера на МСВ: 1 — магнитная пленка, 2 — преобразователи МСВ, 3 — сверхпроводящая пленка, 4 — интегрирующие участки.

ной. Вклад в поле, описывающий взаимодействие, имеет вид  $E_{int} \sim [\delta v_1, \delta B_2] + [\delta v_2, \delta B_1]$ .

Если амплитуда колебаний вихрей мала по сравнению с длиной МСВ  $\lambda = 2\pi/q$ , то задача может быть решена в квазилинейном приближении. При этом  $\delta v_{1,2}$  и  $\delta B_{1,2}$  находятся из решения линейной задачи: линеаризованного уравнения прецессии намагниченности, уравнения движения вихрей и уравнений Максвелла [1,2]. В результате подстановки решения линейной задачи в (1) получаем  $[\delta v_1, \delta B_2] = -[\delta v_2, \delta B_1]$ , т. е.  $E_{int} = 0$ , что является следствием симметрии задачи. Эта симметрия нарушается при пропускании по СП постоянного транспортного тока с плотностью  $J = (0, 0, -J_0)$ , величина которого превышает величину критического тока, обусловленную пиннингом. При этом в СП возникает поток вихрей с постоянной скоростью  $V_0 = (J_0 \Phi_0 / c\eta, 0, 0)$  в направлении распространения волны. Далее мы будем рассматривать тонкие слои сверхпроводника и феррита, для которых справедливы следующие неравенства:

$$qd \ll 1, \quad q\Lambda \ll 1, \quad b \ll \Lambda, \quad b/q\Lambda^2 \ll 1, \quad (2)$$

где  $\Lambda = (c^2/2\pi\delta_B\omega)^{1/2}$  — глубина проникновения электромагнитного поля в СП,  $\delta_B \cong c^2\eta/B_0\Phi_0$  — эффективная проводимость СП. В этом случае распределение тока пооперечному сечению СП можно считать однородным, вихри — неискривленными, а групповую скорость МСВ  $V_{gr} = \partial\omega/\partial q = V$  — не зависящей от волнового числа [3]. Реше-

ние линейной задачи в приближениях (2) дает

$$\delta v_{x,1,2} = \frac{\left(1 \pm \frac{V_0}{V_{ph}}\right)}{B_0} \cdot \sqrt{\frac{4\pi\omega}{a}} W_{1,2}(t) \cdot e^{i(\omega t \mp qx)}, \quad (3)$$

$$\delta B_{y,1,2} = \mp \frac{1}{V_{ph}} \cdot \sqrt{\frac{4\pi\omega}{a}} W_{1,2}(t) \cdot e^{i(\omega t \mp qx)}, \quad (4)$$

где  $V_{ph} = \omega/q$  — фазовая скорость МСВ,  $a$  — ширина области СП, в которой происходит взаимодействие. Подставляя (3) и (4) в (1), получаем

$$E_{int}(x, t) = (C/a) \cdot \sqrt{W_1(t - x/V) \cdot W_2[t - (L - x)/V]} \cdot \exp(2i\omega t), \quad (5)$$

где  $L$  — продольный размер сверхпроводника в направлении  $Ox$ ,

$$C = (4\pi q/cB_0) \cdot (V_0/V_{ph}) \quad (6)$$

— константа межволнового взаимодействия. Функции интегрирующих электродов выполняют свободные от взаимодействия области СП пленки (рис. 1). В режиме холостого хода напряжение на пленке есть  $U_{ic} = I_{cc}R_0$ , где  $R_0 = a \cdot (\sigma_B L b)^{-1}$  — сопротивление пленки СП в направлении  $Oy$ , а  $I_{cc} = \sigma_B \cdot b \cdot \int_0^L E_{int} dx$  — ток короткого замыкания.

Из (5) получаем

$$U_{ic}(x, t) = (C/L) \cdot \exp(2i\omega t) \times$$

$$\times \int_0^L \sqrt{W_1(t - x/V) \cdot W_2[t - (L - x)/V]} \cdot dx. \quad (7)$$

Если длительность сигналов и интервал их следования таковы, что перекрытие происходит только под СП пленкой, то предел интегрирования можно устремить к  $\infty$ , а член смещения  $L/V$  в (7) — опустить. Тогда из (7) имеем

$$U_{ic}(t) = \exp(2i\omega t) \cdot (4\pi q/cB_0) \cdot [V_0(J_0)/V_{ph}] \cdot (V/L) \cdot u(t) \quad (8)$$

$$u(t) = \int_{-\infty}^{+\infty} \sqrt{W_1(t) \cdot W_2(2\tau - t)} d\tau. \quad (9)$$

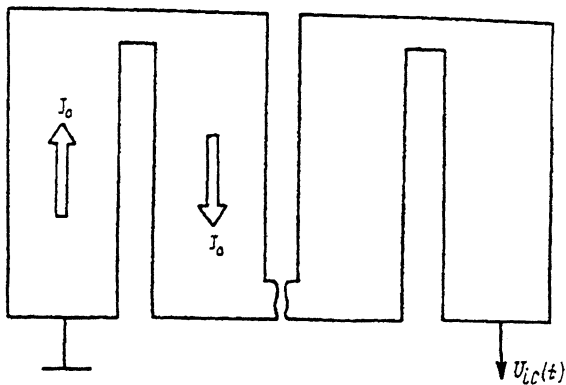


Рис. 2. Система сверхпроводящих полосок для свертки сигналов МСВ с одновременной компенсацией потерь.

Строго говоря, (8) не представляет собой истинную свертку сигналов, поскольку волны испытывают неодинаковое затухание (или усиление при  $V_0 > V_{ph}$ ). Кроме того, в широкой СП пленке сложно создать однородное распределение плотности тока  $J_0$  большой величины и обеспечить необходимый теплоотвод, а уменьшение  $L$  ведет к потере информационной емкости. Эти недостатки можно преодолеть, разбив пленку на ряд параллельных полосок. Для  $N$  периодически расположенных полосок, соединенных в структуру типа "меандр" с периодом  $D \approx L$  (рис. 2) напряжение выходного сигнала есть

$$U_{ic}(t) = C \cdot \exp(2i\omega t) \cdot \sum_1^N \sqrt{W_1(t - x_n/V)} \cdot \sqrt{W_2[t - (\kappa - x_n)/V]}, \quad (10)$$

где  $\mathcal{L} = N \cdot L$  — длина системы полосок,  $x_n$  — координата центра  $n$ -й полоски. Во избежание потери информации, выборка должна производиться довольно часто, т. е. на длину огибающей сигнала должно приходиться минимум две полоски. Тогда суммирование в (10) можно заменить интегрированием и получить в результате формулы (8)–(9). В данном случае оба сигнала будут затухать или усиливаться в одинаковой степени, так как в соседних полосках ток протекает в противоположных направлениях. Таким образом, (9) представляет истинную свертку двух сигналов  $S_1$  и  $S_2$ , сжатую по времени в два раза.

Оценим внутреннюю эффективность конволвюра, приведенную к 1 мВт:  $F = 10 \cdot \lg(W_C/W_1 \cdot W_2)$ , где  $W_C$ ,  $W_1$ ,  $W_2$  есть мощности сигналов свертки и входных сигналов, выраженные в мВт. В режиме наилучшего согласования с нагрузкой  $W_C = U_{ic}^2/4R$ , где  $R \cong N \cdot R_0$ . Из (7), (8)

получаем  $U_{ic} \sim C \cdot N \cdot \sqrt{W_1 \cdot W_2}$ . Оценим величину константы  $C$ . Ограничения на волновое число  $q$  сверху задаются принятыми приближениями (2). При  $d \sim (1-10)$  мкм  $q_{max} \sim (10^2-10^3) \text{ см}^{-1}$ . Ограничение снизу на величину магнитного поля определяется намагниченностью насыщения феррита  $M_0$ :  $B_0 > 4\pi M_0$ . При этом нижняя граничная частота МСВ  $\omega_0 = \gamma \cdot (B_0 - 4\pi M_0)$ . Для пленки чистого железоиттриевого граната (ЖИГ) при  $T \sim 77$  К  $4\pi M_0 \sim 2 \cdot 10^3$  Гс. Полагая, что  $q/B_0 \sim (0.1-1)(\text{Гс} \cdot \text{см})^{-1}$ , из (6) получаем  $C \sim (10^{-2}-10^{-1}) \cdot (V_0/V_{ph}) B/\text{Вт}$ . Тогда при  $\sigma_B \cong 5 \cdot 10^6 (\text{Ом} \cdot \text{см})^{-1}$ ,  $b \cong 10^{-4}$  см,  $L \cong 1$  см,  $a \cong 1$  см величина эффективности  $F \cong 40$  дБм.

Авторы благодарят Г.Д. Мансфельда и С.В. Боритко за интерес к работе и ценные замечания.

Работа частично поддержана грантами: РФФИ (№ 95-02-05465а) и Научного совета по ВТСП (№ 94-002).

#### Список литературы

- [1] Попков А.Ф. // Письма в ЖТФ. 1989. Т. 15. В. 5. С. 9-14.
- [2] Polzikova N.I., Raevskii A.O. // J. Adv. Sc. 1992. V. 4. N 3. P. 197-204.
- [3] Ползикова Н.И., Раевский А.О. // Письма в ЖТФ. 1994. Т. 20. В. 19. С. 24-29.

Поступило в Редакцию  
10 октября 1995 г.